

# عوامل مؤثر در لنگر خمسي سينماتيک در گروه شمعها

دري ۲ - ۳۰۰۷ - ۱۴۹۵  
پايه زير (پايه زير)  
۰۴-۰۸-۰۳-۰۲

علي سنائيزاد (استاديار)

گروه مهندسي عمran، دانشگاه اراک

احمدرضا غلامي نژاد \* (دانشجوی دکтри)

دانشگاه عمran، آب و محبيت زست، دانشگاه نهد پهنتي

این نوشتار نتایج مطالعه‌ی پارامتری رفتار لرزه‌ی گروه شمع مدفون در توده‌ی خاک لایه‌ی را ارائه می‌دهد. هدف از این پژوهش بررسی اندرکنش سینماتیک خاک - شمع و چگونگی تأثیر عوامل مختلف در توسعه‌ی لنگرهای خمسي سینماتیک در هنگام زلزله در گروه شمعها بوده است. برای ساخت مدل‌ها از نرم‌افزار تفاضل محدود سه بعدی 3D FLAC استفاده شده است. صحت استاتیکی با مقایسه مدل با پژوهش‌های قبلی و صحت لرزه‌ی با استفاده از نرم‌افزار 2000 SHAKE شبیه شده است. تجزیه و تحلیل لرزه‌ی پارامتری با تغییر عوامل اصلی و تاثیرگذار در پاسخ گروه شمع مانند: مشخصات خاک، قطر شمعها، فاصله‌ی شمعها، و عمق لایه‌ی خاک با استفاده از شتاب‌نگاشت زلزله‌ی السترو و در حوزه‌ی زمانی انجام شده است. نتایج تجزیه و تحلیل‌ها نشان داده است که عوامل ذکر شده تأثیر زیادی در مقدار لنگر خمسي سینماتیک دارند. همچنین در شمع‌های میانی، لنگر خمسي سینماتیک بيشتری نسبت به شمع‌های کناری توسعه می‌باشد.

a-sanaeirad@araku.ac.ir  
ahmadrez.a.gh@gmail.com

وازگان کلیدی: آنالیز لرزه‌ی، اندرکنش خاک - شمع، اندرکنش سینماتیک، گروه شمع، تفاضل محدود.

## ۱. مقدمه

مورد استفاده قرار گرفته است: ۱. استفاده از مدل‌های تقریبی و ساده‌سازی شده مانند روش وینکل<sup>[۱-۲]</sup>. ۲. استفاده از مدل‌های پیچیده‌تر و دقیق‌تر اجزاء محدود یا مشابه.<sup>[۳-۶]</sup> مجموع پژوهش‌های انجام شده نشان داده‌اند: ۱. در خاک همگن و لایه‌ی بیشینه‌ی لنگر خمسي به ترتیب در وسط شمع و نزدیکی مرز دو لایه ایجاد می‌شود؛ ۲. اندازه‌ی قطر شمع و یا نسبت سختی شمع به سختی خاک، تأثیر زیادی در مقدار لنگر خمسي سینماتیک دارد. همچنین باید ذکر شود که تمام پژوهش‌های انجام شده بر روی شمع تک بوده‌اند، این در حالی است که شمع‌ها به‌ندرت به صورت تک استفاده می‌شوند.

این نوشتارگزارشی از تحلیل‌های اندرکنش سینماتیک شمع - خاک انجام شده بر روی گروه شمع با استفاده از نرم‌افزار تفاضل محدود 3D FLAC است. هدف از انجام این تجزیه و تحلیل‌ها، بررسی اثر عوامل مختلف مانند: جنس خاک، فاصله‌ی شمعها، قطر شمعها، و عمق لایه‌ی خاک بر لنگر خمسي سینماتیک گروه شمع بوده است.

## ۲. مدل‌های تجزیه و تحلیل

### ۲.۱. نرم‌افزار مورد استفاده

برای ساخت مدل‌های تجزیه و تحلیل، از نرم‌افزار تفاضل محدود صریح<sup>۲</sup> FLAC 3D استفاده شده است. صریح در این روش اشاره به این دارد که در هر

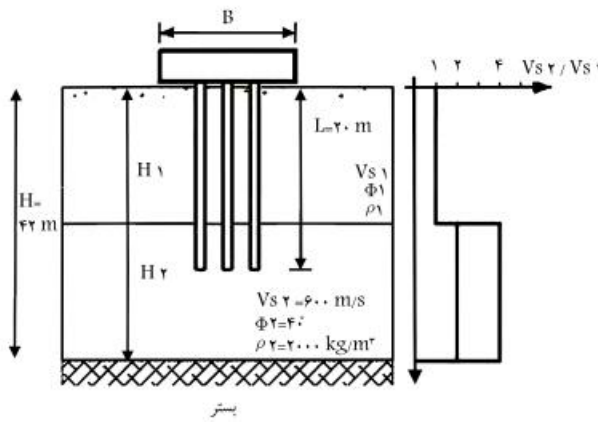
جا به جایی توده‌ی خاک در اثر عبور موج زلزله موجب تشکیل لنگر خمسي در شمع‌ها می‌شود. این لنگرهای حتی در صورت عدم حضور روسازه نیز توسعه می‌باشد و به عنوان لنگرهای سینماتیک<sup>۱</sup> شناخته می‌شوند. برخلاف لنگرهای اینرسی<sup>۲</sup> ناشی از جرم روسازه، که بررس شمع اعمال می‌شود، لنگرهای سینماتیک در طول شمع توسعه می‌باشد. لنگرهای سینماتیک تا قبل از اواسط دهه ۱۹۹۰ میلادی جدی تلقی نمی‌شده است. اما بررسی‌های صحرایی انجام شده پس از زلزله‌های: مکزیکوستی (۱۹۸۵)، کوهی (۱۹۹۵) و چی چی (۱۹۹۹) نشان داده است که اثرات سینماتیک در آسیب‌دیدن شمع‌ها در هنگام زلزله نقش مهمی دارد.<sup>[۱-۲]</sup>

اندرکنش لرزه‌ی خاک - شمع مسئله‌ی پیچیده است، که تحت تأثیر هم‌زمان چندین عامل مانند: جنس خاک، ارتفاع لایه‌ی خاک، رفتار غیرخطی خاک، بروز فشار آب منفذی، مشخصات شمع‌ها، اثرات اینرسی، و اندرکنش سینماتیک بین خاک شمع است. به علت این پیچیدگی در کارهای مهندسی همچنان از روش‌های ساده‌سازی شده استفاده و از اندرکنش سینماتیک چشم‌پوشی شده است، با وجود این، مطالعات نسبتاً وسیعی بر اندرکنش سینماتیک شمع تک صورت گرفته و اهمیت آن در برخی آئین‌نامه‌ها نیز ذکر شده است.<sup>[۲]</sup>

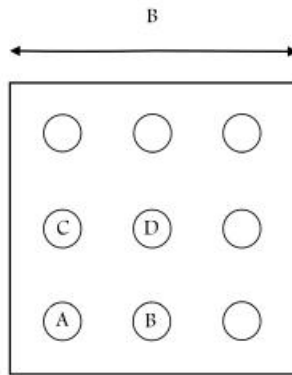
به‌طور کلی دو رویکرد در بررسی عددی لنگرهای خمسي سینماتیک شمع‌ها

\* نویسنده مستول

<sup>۱</sup> تاریخ: دریافت ۱۵/۱/۱۳۹۴، اصلاحیه ۱۰/۷/۱۳۹۴، پذیرش ۱۲/۸/۱۳۹۴.



شکل ۱. پروفیل خاک و شمع.



شکل ۲. آرایش گروه شمع.

شمع بتی با مدل کشسانی  $\sigma_1 = 30 \text{ kg/m}^3$  و چگالی  $\rho = 2500 \text{ kg/m}^3$  در نظر گرفته شده است. طول شمعها  $20 \text{ m}$  متر است، که قسمتی از آن در لایه‌ی بالا و باقی آن در لایه‌ی سخت زیرین نفوذ کرده است. شمعها قطرهای  $40, 60, 80$  و  $100 \text{ mm}$  دارند، که در  $3$  نسبت فاصله به قطرهای  $2, 4, 6$  و  $8$  قرار گرفته‌اند. فاصله‌ی شمعهای کناری از لبه‌ی کلاهک  $1/2$  متر است. در مجموع  $54$  حالت مختلف تجزیه و تحلیل برای پارامترهای خاک و شمع وجود دارد، که در جدول  $1$  ارائه شده است.

از مدل موهر - کلمب در تجزیه و تحلیل‌ها استفاده شده است. پوش گسیختگی در این مدل مطابق با معیار موهر - کلمب است، که موقعیت نقطه‌ی نتش در این پوش گسیختگی با قانون جریان غیرواسته برای گسیختگی برشی و قانون جریان وابسته برای گسیختگی کششی کنترل می‌شود. به بیان دیگر، اگر  $\sigma_1, \sigma_2, \sigma_3$  و  $\sigma_4$  نتش‌های اصلی باشند و این قرارداد برقرار باشد (رابطه‌ی  $8$ ):

$$\sigma_1 < \sigma_2 < \sigma_3 < \sigma_4 \quad (8)$$

معیار شکست را می‌توان مطابق شکل  $3$  نمایش داد. گسیختگی از  $A$  تا  $B$  براساس تابع تسلیم برشی موهر - کلمب مطابق رابطه‌ی  $9$  خواهد بود:

$$f^* = \sigma_1 - \sigma_2 N_\phi + 2c\sqrt{N_\phi} \quad (9)$$

که در آن،  $N_\phi$  از رابطه‌ی  $10$  به دست می‌آید:

$$N_\phi = \frac{1 - \sin \phi}{1 - \cos \phi} \quad (10)$$

گام محاسباتی، ماتریس سختی تشکیل نمی‌شود و مجھول در زمان  $n+1$  است و فقط با یک رابطه در یک گام به مقدار  $u$  در زمان  $n$ ، ( $u^n$ ) مرتبط می‌شود، پس نیازی به حل معادلات هم‌زمان نیست و روابط  $1$  و  $2$  را داریم:

$$\frac{u^{n+1} - u^n}{\Delta t} = f(u^n, t^n) \quad (1)$$

$$u^{n+1} = u^n + \Delta t \cdot f(u^n, t^n) \quad (2)$$

در نتیجه، انجام تجزیه و تحلیل غیرخطی و کنش بزرگ در زمان کسری صورت می‌گیرد. در فرمولاسیون حل، معادله‌ی دیفرانسیل حرکت از بقای مومتم بر حسب نتش‌ها به فرم رابطه‌ی  $3$  است:

$$\rho \frac{du_i}{dt} = \frac{\partial \sigma_{ij}}{\partial x_i} + \rho g; \quad (3)$$

از طرفی برای گسته‌سازی در زمان از فرم تفاضلی در رابطه‌ی  $4$  استفاده می‌شود:

$$\frac{\partial u_i}{\partial t} = \frac{\dot{u}^{t+\frac{\Delta t}{2}} - \dot{u}^{t-\frac{\Delta t}{2}}}{\Delta t} \quad (4)$$

و برای گسته‌سازی جمله‌ی گرادیان نتش در FLAC، به صورت رابطه‌ی  $5$  عمل شده است:

$$\frac{\partial \sigma_{ij}}{\partial x_j} = \frac{1}{A} \sum \sigma_{ij} \cdot \delta_{jk} \cdot \Delta x_k \quad (5)$$

که در آن،  $A$  سطح المان و  $\Delta x_k$  طول ضلع المان است.

بدین ترتیب الگوی تفاضلی در FLAC به صورت رابطه‌ی  $6$  در می‌آید:

$$\rho \left[ \frac{\dot{u}^{t+\frac{\Delta t}{2}} - \dot{u}^{t-\frac{\Delta t}{2}}}{\Delta t} \right] = \frac{1}{A} \sum \sigma_{ij} \cdot \delta_{jk} \cdot \Delta x_k \quad (6)$$

که در آن، فقط  $\dot{u}^{t+\frac{\Delta t}{2}}$  مجھول است و به صورت صریح به دست می‌آید، و  $u$  نیز به سادگی با رابطه‌ی  $7$  حاصل می‌شود:

$$u = \dot{u} \times \Delta t \quad (7)$$

با مطالعه‌ی سیستم فنر - جرم از طریق روش تفاضل محدود چنین به دست آمده است که بزرگترین گام زمانی باید از گمینه‌ی دوره‌ی تناوب اصلی کل سیستم کوچکتر باشد. این گام زمانی به گام زمانی بحرانی معروف است. در روش عددی حل صریح، باید گام زمانی به قدری کوچک باشد که متغیرهای محاسبه شده توانند از یک المان به المان دیگر انتشار داشته باشند.

## ۲.۲. فرضیات و مشخصات شمع و خاک

گروه شمع مورد پژوهش از یک گروه شمع  $3 \times 3$  با کلاهک صلب و مدفن در خاک لایه‌یی تشکیل شده است. لایه‌ی زیرین به عنوان یک لایه‌ی ماسه‌یی سخت با سرعت موج برشی  $600 \text{ m/s}$  بر ثانیه، چگالی  $\rho = 2500 \text{ kg/m}^3$  و زاویه‌ی اصطکاک داخلی  $40^\circ$  درجه و لایه‌ی بالا از دونوع خاک ماسه‌یی متراکم و شل با سرعتهای موج برشی به ترتیب  $300$  و  $150 \text{ m/s}$  بر ثانیه، چگالی‌های  $\rho = 1600 \text{ kg/m}^3$  و  $1800 \text{ kg/m}^3$  و زاویه‌ی اصطکاک داخلی  $30^\circ$  و  $35^\circ$  درجه در نظر گرفته شده است. لایه‌ی بالا ارتفاع  $12, 16$  و  $18 \text{ m}$  دارد. میرایی مصالح شمع و خاک  $5\%$  در نظر گرفته شده است. شکل  $1$ ، شماتی از گروه شمع و پروفیل خاک و شکل  $2$  آرایش گروه شمع را نشان می‌دهد.

جدول ۱. مدل‌های مختلف تجزیه و تحلیل.

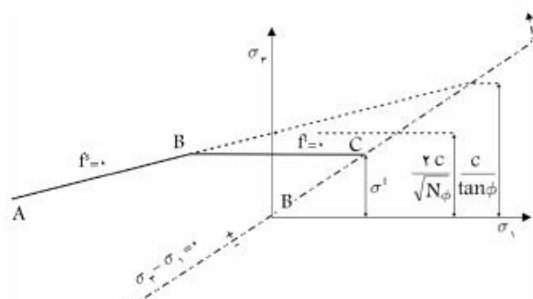
$\Phi_2$	$\Phi_1$	$\rho_1$ (kg/m <sup>3</sup> )	s/d	D <sub>P</sub> (m)	H <sub>1</sub> (m)	V <sub>S1</sub> (m/s)	حالت	$\Phi_2$	$\Phi_1$	$\rho_1$ (kg/m <sup>3</sup> )	s/d	D <sub>P</sub> (m)	H <sub>1</sub> (m)	V <sub>S1</sub> (m/s)	حالت
۴۰	۳۵	۱۸۰۰	۲	۰,۴	۶	۳۰۰	S2-۱	۴۰	۳۰	۱۶۰۰	۲	۰,۴	۶	۱۵۰	S1-۱
۴۰	۳۵	۱۸۰۰	۴	۰,۴	۶	۳۰۰	S2-۲	۴۰	۳۰	۱۶۰۰	۴	۰,۴	۶	۱۵۰	S1-۲
۴۰	۳۵	۱۸۰۰	۶	۰,۴	۶	۳۰۰	S2-۳	۴۰	۳۰	۱۶۰۰	۶	۰,۴	۶	۱۵۰	S1-۳
۴۰	۳۵	۱۸۰۰	۲	۰,۶	۶	۳۰۰	S2-۴	۴۰	۳۰	۱۶۰۰	۲	۰,۶	۶	۱۵۰	S1-۴
۴۰	۳۵	۱۸۰۰	۴	۰,۶	۶	۳۰۰	S2-۵	۴۰	۳۰	۱۶۰۰	۴	۰,۶	۶	۱۵۰	S1-۵
۴۰	۳۵	۱۸۰۰	۶	۰,۶	۶	۳۰۰	S2-۶	۴۰	۳۰	۱۶۰۰	۶	۰,۶	۶	۱۵۰	S1-۶
۴۰	۳۵	۱۸۰۰	۲	۰,۸	۶	۳۰۰	S2-۷	۴۰	۳۰	۱۶۰۰	۲	۰,۸	۶	۱۵۰	S1-۷
۴۰	۳۵	۱۸۰۰	۴	۰,۸	۶	۳۰۰	S2-۸	۴۰	۳۰	۱۶۰۰	۴	۰,۸	۶	۱۵۰	S1-۸
۴۰	۳۵	۱۸۰۰	۶	۰,۸	۶	۳۰۰	S2-۹	۴۰	۳۰	۱۶۰۰	۶	۰,۸	۶	۱۵۰	S1-۹
۴۰	۳۵	۱۸۰۰	۲	۰,۴	۱۲	۳۰۰	S2-۱۰	۴۰	۳۰	۱۶۰۰	۲	۰,۴	۱۲	۱۵۰	S1-۱۰
۴۰	۳۵	۱۸۰۰	۴	۰,۴	۱۲	۳۰۰	S2-۱۱	۴۰	۳۰	۱۶۰۰	۴	۰,۴	۱۲	۱۵۰	S1-۱۱
۴۰	۳۵	۱۸۰۰	۶	۰,۴	۱۲	۳۰۰	S2-۱۲	۴۰	۳۰	۱۶۰۰	۶	۰,۴	۱۲	۱۵۰	S1-۱۲
۴۰	۳۵	۱۸۰۰	۲	۰,۶	۱۲	۳۰۰	S2-۱۳	۴۰	۳۰	۱۶۰۰	۲	۰,۶	۱۲	۱۵۰	S1-۱۳
۴۰	۳۵	۱۸۰۰	۴	۰,۶	۱۲	۳۰۰	S2-۱۴	۴۰	۳۰	۱۶۰۰	۴	۰,۶	۱۲	۱۵۰	S1-۱۴
۴۰	۳۵	۱۸۰۰	۶	۰,۶	۱۲	۳۰۰	S2-۱۵	۴۰	۳۰	۱۶۰۰	۶	۰,۶	۱۲	۱۵۰	S1-۱۵
۴۰	۳۵	۱۸۰۰	۲	۰,۸	۱۲	۳۰۰	S2-۱۶	۴۰	۳۰	۱۶۰۰	۲	۰,۸	۱۲	۱۵۰	S1-۱۶
۴۰	۳۵	۱۸۰۰	۴	۰,۸	۱۲	۳۰۰	S2-۱۷	۴۰	۳۰	۱۶۰۰	۴	۰,۸	۱۲	۱۵۰	S1-۱۷
۴۰	۳۵	۱۸۰۰	۶	۰,۸	۱۲	۳۰۰	S2-۱۸	۴۰	۳۰	۱۶۰۰	۶	۰,۸	۱۲	۱۵۰	S1-۱۸
۴۰	۳۵	۱۸۰۰	۲	۰,۴	۱۸	۳۰۰	S2-۱۹	۴۰	۳۰	۱۶۰۰	۲	۰,۴	۱۸	۱۵۰	S1-۱۹
۴۰	۳۵	۱۸۰۰	۴	۰,۴	۱۸	۳۰۰	S2-۲۰	۴۰	۳۰	۱۶۰۰	۴	۰,۴	۱۸	۱۵۰	S1-۲۰
۴۰	۳۵	۱۸۰۰	۶	۰,۴	۱۸	۳۰۰	S2-۲۱	۴۰	۳۰	۱۶۰۰	۶	۰,۴	۱۸	۱۵۰	S1-۲۱
۴۰	۳۵	۱۸۰۰	۲	۰,۶	۱۸	۳۰۰	S2-۲۲	۴۰	۳۰	۱۶۰۰	۲	۰,۶	۱۸	۱۵۰	S1-۲۲
۴۰	۳۵	۱۸۰۰	۴	۰,۶	۱۸	۳۰۰	S2-۲۳	۴۰	۳۰	۱۶۰۰	۴	۰,۶	۱۸	۱۵۰	S1-۲۳
۴۰	۳۵	۱۸۰۰	۶	۰,۶	۱۸	۳۰۰	S2-۲۴	۴۰	۳۰	۱۶۰۰	۶	۰,۶	۱۸	۱۵۰	S1-۲۴
۴۰	۳۵	۱۸۰۰	۲	۰,۸	۱۸	۳۰۰	S2-۲۵	۴۰	۳۰	۱۶۰۰	۲	۰,۸	۱۸	۱۵۰	S1-۲۵
۴۰	۳۵	۱۸۰۰	۴	۰,۸	۱۸	۳۰۰	S2-۲۶	۴۰	۳۰	۱۶۰۰	۴	۰,۸	۱۸	۱۵۰	S1-۲۶
۴۰	۳۵	۱۸۰۰	۶	۰,۸	۱۸	۳۰۰	S2-۲۷	۴۰	۳۰	۱۶۰۰	۶	۰,۸	۱۸	۱۵۰	S1-۲۷

دراز B تا C براساس تابع تسلیم کششی بهصورت رابطه‌ی ۱۱ خواهد بود:

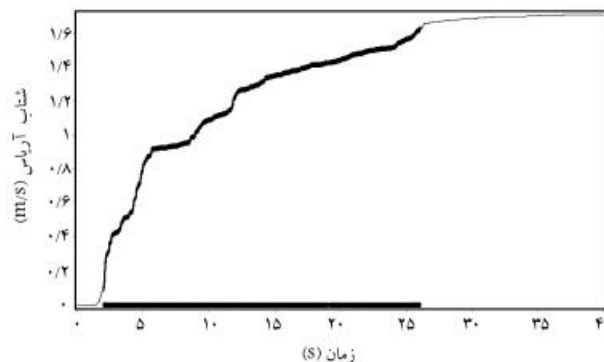
$$f^t = \sigma^t - \sigma_2 \quad (11)$$

که در روابط مذکور،  $\phi$ ،  $c$  و  $\sigma^t$  به ترتیب زاویه‌ی اصطکاک، مقاومت کششی خاک هستند. فقط تنش‌های اصلی بیشینه و کمینه در فرمول جاری شدگی برشی دخیل هستند و تنش اصلی متوسط هیچ تأثیری ندارد. همچنین مقدار مقاومت کششی از مقدار بدست‌آمده از رابطه‌ی ۱۲ نمی‌تواند بیشتر باشد:

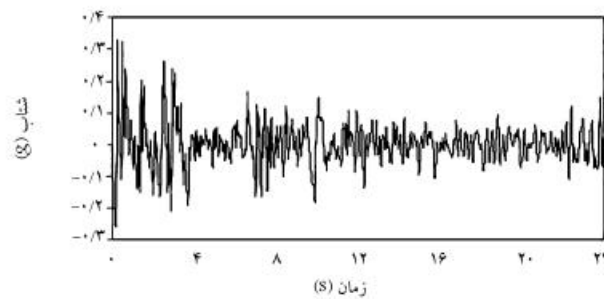
$$\sigma_{\max}^t = \frac{c}{\tan \phi} \quad (12)$$



شکل ۳. معیار گسیختگی موهر - گلمب در FLAC ۳D



شکل ۴. محدوده‌ی پیشنهادی انرژی.



شکل ۵. شتاب‌نگاشت نهایی.

#### ۴.۲. شرایط مرزی

نقاط قرارگرفته در کف مدل در مقابل جایه‌جایی افقی و قائم در تجزیه و تحلیل استاتیکی و دینامیکی ثابت شده‌اند. در تجزیه و تحلیل استاتیکی، نقاط قرارگرفته در سمت چپ و راست به صورت افقی ثابت شده‌اند. برای تجزیه و تحلیل دینامیکی، فاصله‌ی کافی بین سازه و طرفین مدل باید در نظر گرفته شود، تا از تأثیر موج انعکاس یافته در مرزها در پاسخ جلوگیری شود. البته نرم افزار ۳D دارای نوعی خاصی از مرزها موسوم به مرز ساکن (جاداب)<sup>۵</sup> است، که روشی جایگزین به جای استفاده از ابعاد بسیار بزرگ است.<sup>[۱۷]</sup>

#### ۵.۲. ابعاد مدل و اندازه‌ی مشبندی

به منظور جلوگیری از تأثیر مرزها در پاسخ تجزیه و تحلیل، ابعاد مدل باید به طور مناسب انتخاب شود. برای این منظور پاسخ شمع مفروضی با مشخصات هندسی، مصالحی و فنی ثابت، که تحت بار جانبی قرار دارد، در مدل‌هایی با ابعاد مختلف به دست آمده و مقایسه شده است. در تمام مدل‌ها سعی شده است که اندازه‌ی مشبندی ثابت باشد، تا از تأثیر آن در پاسخ جلوگیری شود. در نهایت طول و عرض مدل ۵۲ متر و ارتفاع مدل ۴۲ متر در نظر گرفته شده است.

از آنجایی که مدل‌های مورد بررسی، خاک دولایه‌ی دارند، از دو اندازه‌ی متفاوت مشبندی به منظور کاهش زمان تجزیه و تحلیل‌ها، برای هر لایه استفاده شده است. محتوای بسامدی موج ورودی به مدل و سرعت حرکت موج در مجموعه‌ی مدل شده بر صحبت عددی انتقال موج مؤثر هستند، در نتیجه در تجزیه و تحلیل‌های لرزه‌ی بزرگترین بعد مشبندی باید از  $\frac{1}{6}$  تا  $\frac{1}{8}$  طول موج منطبق بر بزرگترین بسامد ورودی کوچکتر باشد.<sup>[۱۷]</sup> در این پژوهش از دو نوع خاک با سرعت‌های موج برushi ۱۵° و ۳۰° متر بر ثانیه، برای لایه‌ی بالا و خاک متراکم‌تر با سرعت موج برushi ۶۰° متر

تابع پتانسیل با استفاده از دوتایع پتانسیل  $g^+$  و  $g^-$  که به ترتیب برای تعریف جریان خمیری بشی و کششی استفاده می‌شوند، توصیف می‌شود. تابع  $g^+$  مطابق قانون جریان غیروابسته است، که به صورت رابطه‌ی ۱۳ تعریف می‌شود:

$$g^+ = \sigma_1 - \sigma_2 N_\psi \quad (13)$$

که در آن،  $\psi$  زاویه‌ی اتساع است و  $N_\psi$  از رابطه‌ی ۱۴ به دست می‌آید:

$$N_\psi = \frac{1 + \sin \psi}{1 - \sin \psi} \quad (14)$$

تابع  $g^-$  مطابق قانون جریان وابسته است و به صورت رابطه‌ی ۱۵ نوشته می‌شود:

$$g^- = -\sigma_2 \quad (15)$$

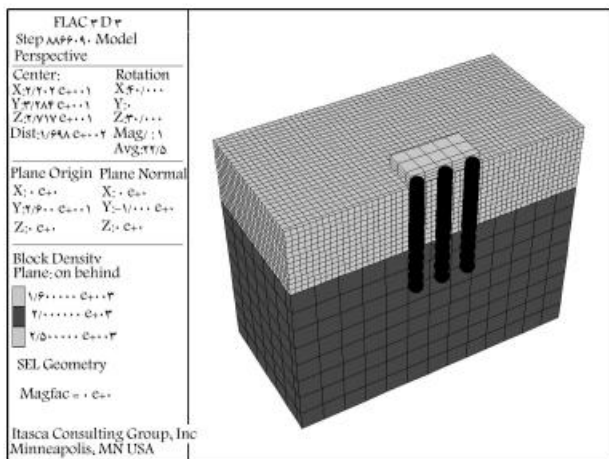
دو روش جهت مدل‌کردن شمع در این نرم افزار وجود دارد: ۱. مدل‌سازی حجمی و سه‌بعدی؛ در این روش شمع به صورت استوانه‌ی کشسان مدل می‌شود. هندسه‌ی محیط خاک در این روش باید به گونه‌ی می‌مدل شود که محل‌هایی جهت قرارگیری شمع‌ها پیش‌بینی شود. همچنین باید در محل تماس شمع و خاک از المان‌های فصل مشترک استفاده کرد. از معایب این روش می‌توان به پیچیدگی مدل‌کردن خاک و شمع، دشواری تعیین پارامترهای فصل مشترک، و افزایش زمان تجزیه و تحلیل اشاره کرد. ۲. مدل‌سازی با المان‌سازه‌ی شمع: این روش جایگزین روش قبل است و از ویژگی‌های اصلی این نرم افزار محسوب می‌شود. در این حالت شمع با یک المان خطی یک‌بعدی، که ابتدا و انتهای شمع را به یکدیگر متصل می‌کند، مدل می‌شود. المان سازه‌ی شمع خود از چند ریزالمان‌ها به یکدیگر می‌شود، که هر گره ۶ درجه آزادی دارد و اتصال این ریزالمان‌ها به یکدیگر صلب است. المان سازه‌ی شمع با ۳ فنر برushi و ۳ فنر زمال با خاک در ارتباط است. از مزیت‌های این روش می‌توان به سهولت مدل‌سازی، امکان تعریف شمع‌ها با شکل‌های مختلف، قابلیت مدل‌کردن جدایش خاک و شمع، قابلیت مشاهده‌ی نیروها و لنگرهای خمسی ایجاد شده در شمع، و سرعت پیشر تجزیه و تحلیل اشاره کرد. در این پژوهش از روش دوم استفاده شده است.

#### ۳.۲. وضعیت بارگذاری

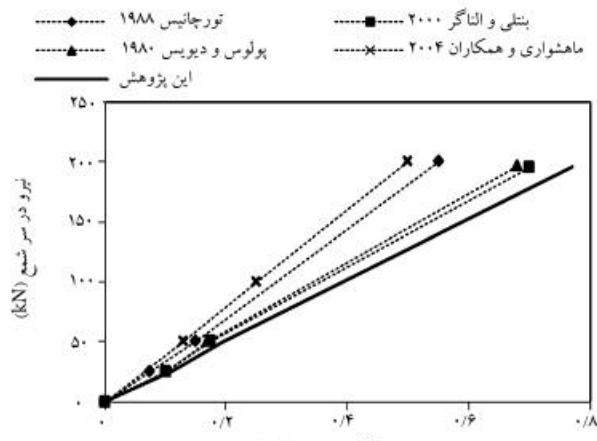
در این پژوهش به عنوان بارگذاری لرزه‌ی از شتاب‌نگاشت الستترو استفاده شده است. مدت زمان این زلزله ۴۰ ثانیه است، که مدت بسیار زیادی جهت استفاده در تجزیه و تحلیل لرزه‌ی است.

چندین روش جهت بهینه‌کردن مدت زمان شتاب‌نگاشت‌ها وجود دارد، که یکی از پرکاربردترین آنها روش اینده‌شده‌ی تیری‌فوناک و برادی است. این روش مدت زمان بهینه را در پیشنهادی انرژی در نظر می‌گیرد.<sup>[۱۷]</sup> که در واقع همان مدت زمان در ۵٪ تا ۹۵٪ شدت آریاس<sup>۶</sup> کلی است. با استفاده از نرم افزار SeismoSignal، نمودار شدت آریاس رسم و مدت زمان مهم آن به دست آمده است (شکل ۴). در نهایت مدت زمان شتاب‌نگاشت به ۲۴ ثانیه رسیده است. سپس به منظور حذف تغییرشکل‌های ماندگار ناشی از انتگرال‌گیری از شتاب‌نگاشت، خط مبنای آن با استفاده از تابع اصلاح خطی تصحیح و جزء بسامدهای بالا و پایین غیرضروری نیز فیلتر شده است. در مهندسی عمران این بسامدها به ترتیب ۱۵ و ۱۱ هرتز است.

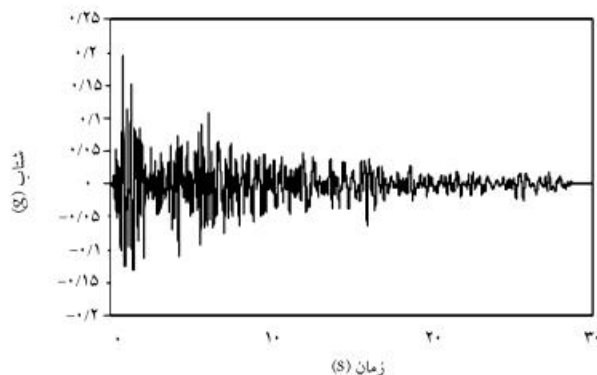
شکل ۵، شتاب‌نگاشت نهایی استفاده شده به عنوان حرکت ورودی در کف مدل را نشان می‌دهد.



شکل ۶. نمونه‌ی مدل استفاده شده در تجزیه و تحلیل.



شکل ۷. بررسی صحت استاتیکی مدل.



شکل ۸. تحریک ورودی برای پاسخ سطح آزاد.

میزانی خاک برابر ۵٪ و سایر مشخصات خاک مانند حالت قبل در نظر گرفته شده است.

تحریک ورودی و پاسخ‌های به دست آمده از ۳D FLAC و SHAKE ۲۰۰۰ تحریک ورودی و پاسخ‌های به دست آمده از ۳D FLAC و SHAKE ۲۰۰۰ به ترتیب در شکل‌های ۸ الی ۱۰ آمده است. می‌توان مشاهده کرد که بیشینه‌ی شتاب سطح آزاد در هر دو مورد از  $g/2$  به تقریباً  $25\text{ g}$  رسیده است. روند کلی تاریخچه‌های زمانی به دست آمده از دو روش تجزیه و تحلیل شبیه به یکدیگر بوده و همچنین جزء بیشینه‌ی پاسخ‌ها نیز تقریباً یکسان است.

بر ثانیه، برای لایه‌ی پائین و از شتاب نگاشت الستترو با سامد ۱۵ هرتز به عنوان موج ورودی به سیستم استفاده شده است (روابط ۱۶ الی ۱۸):

$$\lambda_1 = \frac{V_{s1}}{f} = \frac{15^{\circ}}{15} = 1^{\circ} \Rightarrow \Delta l_1 = 1 \quad (16)$$

$$\lambda_2 = \frac{V_{s2}}{f} = \frac{30^{\circ}}{15} = 2^{\circ} \Rightarrow \Delta l_2 = 2 \quad (17)$$

$$\lambda_3 = \frac{V_{s3}}{f} = \frac{60^{\circ}}{15} = 4^{\circ} \Rightarrow \Delta l_3 = 4 \quad (18)$$

که در آن‌ها،  $\lambda$ ،  $V_s$  و  $f$  به ترتیب طول موج، سرعت موج پرشی، و سامد بارگذاری هستند.

مطابق روابط ۱۶ الی ۱۸، اندازه‌ی مشبندی در لایه‌ی بالا به علت نیاز به دقیق‌تر برابر ۱ و برای لایه‌ی زیرین ۴ در نظر گرفته شده است. در این نرم‌افزار هر چه نسبت ابعاد مشبندی به ۱ نزدیک‌تر باشد، دقیق‌تر تجزیه و تحلیل بهتر می‌شود! در نتیجه از مشبندی مربعی استفاده شده است، شکل ۶، یکی از مدل‌های تجزیه و تحلیل را نشان می‌دهد.

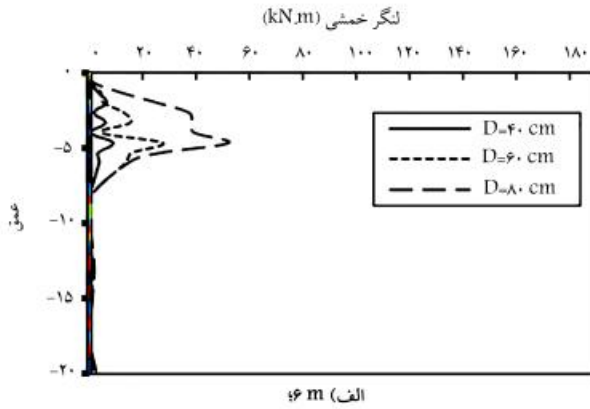
## ۶.۲. صحت سنجی استاتیکی

صحت مدل خاک - شمع با انجام تجزیه و تحلیل کشسان بارگذاری جانبه در سر شمع یک شمع گیردار انجام شده است. شمع مورد بررسی به طول ۱۰ متر و قطر ۵۰۰ متر مدل کشسانی ۲۵ گیگاباسکال، چگالی ( $\text{kg}/\text{m}^3$ ) ۲۴۰۰ و نسبت پواسون  $0.3/0.45$  است. خاک نیز مدل کشسانی ۲۰ مگاباسکال و نسبت پواسون  $0.25/0.45$  دارد. تغییرشکل افقی سر شمع در مقادیر مختلف بارگذاری افقی برای حالت کشسان بدون جدایش خاک - شمع به دست آمده است. شکل ۷، مقایسه‌ی نتایج ۳D FLAC با نتایج پژوهش اجزاء محدود تورجانیس و همکاران،<sup>[۱۵]</sup> بنتلی و ال ناگر،<sup>[۱۶]</sup> پولوس و دبیوس،<sup>[۱۷]</sup> و همچنین تایج به دست آمده از راه حلی که پولوس و دبیوس،<sup>[۱۸]</sup> جهت تعیین نشست یا تغییرشکل جانبه سر شمع تک تحت بارگذاری محوری و جانبی در حالت کشسان ارائه داده‌اند نشان می‌دهد. در این راه حل شمع به صورت خط در نظر گرفته می‌شود، که با خاک اطراف به صورت همساز حرکت می‌کند (جدایش اتفاق نمی‌افتد).

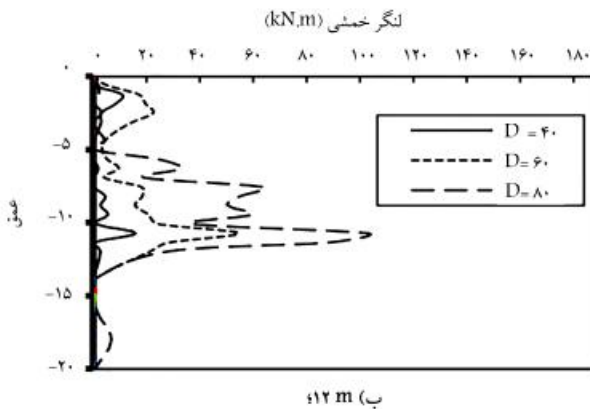
مشاهده می‌شود که نتایج به دست آمده از ۳D FLAC با نتایج پژوهش‌های پولوس و بنتلی نزدیکی دارد، اما تغییرشکل به دست آمده از این مدل سازی در مقایسه با نتایج تورجانیس و ماهشوری بیشتر است. علت این امر می‌تواند این باشد که تورجانیس و ماهشوری مقطع شمع را به صورت مربعی در نظر گرفته‌اند، اما در پژوهش حاضر و پژوهش بنتلی شمع به صورت استوانه‌یی فرض شده است. مربع فرض کردن مقطع شمع ممکن است به علت افزایش سطح تماس شمع و خاک، موجب افزایش سختی شود.

## ۷.۲. صحت سنجی لرزه‌یی

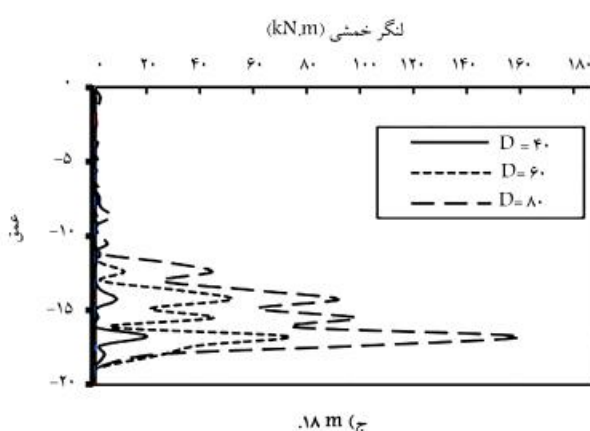
برای راست‌آزمایی لرزه‌یی مدل پاسخ زمین به تحریک زلزله‌ی الستترو با استفاده از مدل ۳D FLAC حل و پاسخ کشسان سطح آزاد به دست آمده با پاسخ بدست آمده از نرم‌افزار SHAKE ۲۰۰۰ مقایسه شده است. از آنجایی که نرم‌افزار SHAKE ۲۰۰۰ تحلیل یک‌بعدی انجام می‌دهد، در مدل ۳D FLAC نیز فقط در جهت انتشار موج اجزا حرکت داده شده است، تا شرایط یکسانی فراهم شود.



الف) ۴۶ m

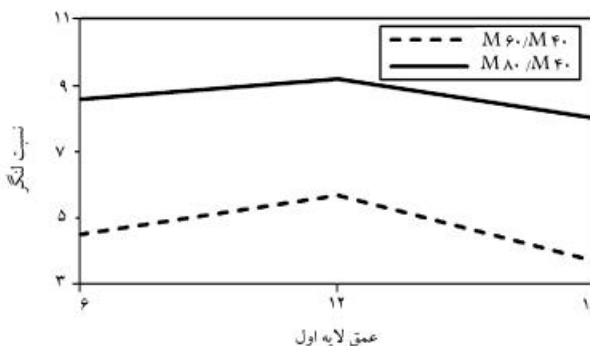


ب) ۶۲ m

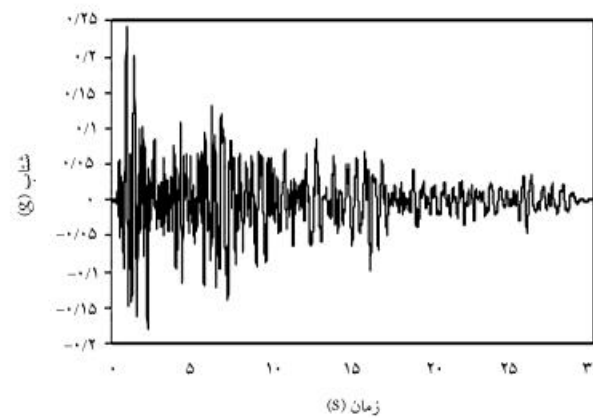


ج) ۸۸ m

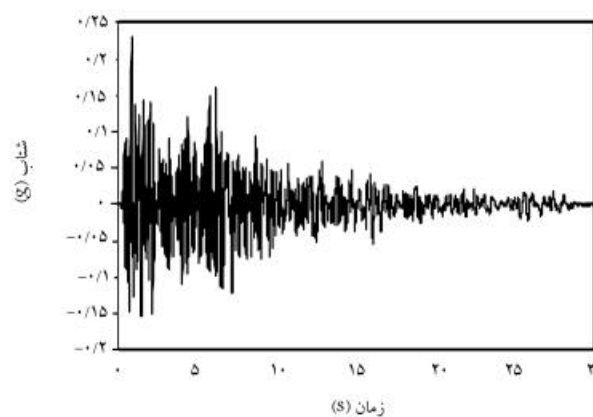
شکل ۱۱. اثر قطر شمع در لنگر خمشی سینماتیک در  $\frac{2}{s/d}$  و ضخامت لایه‌ی اول.



شکل ۱۲. تغییرات اثر قطر شمع در لنگر خمشی با عمق لایه‌ی اول.



شکل ۹. پاسخ سطح آزاد FIAC ۳D



شکل ۱۰. پاسخ سطح آزاد SHAKE ۲۰۰۰

### ۳. بررسی منتخبی از نتایج تجزیه و تحلیل‌ها

#### ۱۳. اثر قطر شمع در لنگر خمشی سینماتیک

شکل ۱۱، چگونگی توزع قدرمطلق بیشینه‌ی لنگرهای خمشی در طول شمع D گروه شمع را برای حالتی که لایه‌ی بالا ماسه‌ی سست و با سرعت موج برشی  $15^\circ$  متر بر ثانیه (خاک نوع - ماسه‌ی شل) است، را نشان می‌دهد ( $V_{S2}/V_{S1} = 4$ ). هرگراف از نتایج تجزیه و تحلیل‌های مربوط به قطرهای مختلف (۴۰، ۶۰ و ۸۰ سانتی‌متر) در نسبت فاصله به قطر ۲ و در عمق‌های ۱۲، ۱۶ و ۱۸ متر بدست آمده است.

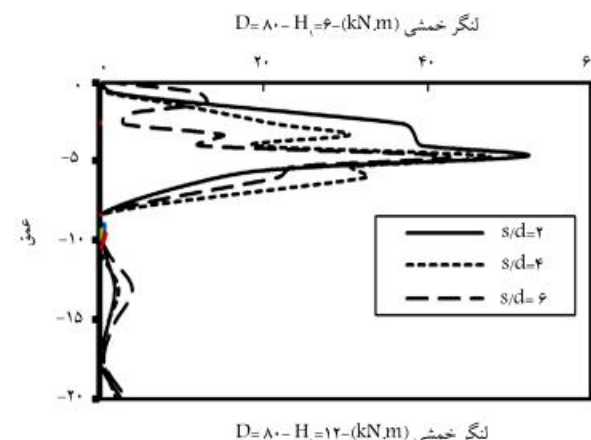
همان‌طور که مشاهده می‌شود، قطر شمع‌ها اثر چشمگیری در مقدار لنگر خمشی سینماتیک ایجاد شده دارد، به طوری که با افزایش قطر شمع‌ها از  $40^\circ$  به  $60^\circ$  و از  $40^\circ$  به  $80^\circ$  سانتی‌متر، تقریباً مقدار لنگر خمشی به ترتیب بین  $3/5$  تا  $5/5$  به  $5/5$  تا  $9/5$  برابر می‌شود. علت افزایش لنگر خمشی سینماتیک با افزایش قطر شمع‌ها می‌تواند این باشد که سختی شمع با افزایش قطر افزایش می‌یابد و در نتیجه مقاومت بیشتری در مقابل تغییرشکل خاک اطراف خود دارد. این موضوع موجب می‌شود که مقدار لنگر خمشی ایجاد شده در آن افزایش یابد. همچنین بیشترین مقدار لنگر در هر  $3^\circ$  عمق لایه‌ی اول در شمع D (شمع میانی) تشکیل شده است.

شکل ۱۲، تغییرات نسبت بیشینه‌ی لنگر خمشی در قطر  $80^\circ$  به  $40^\circ$  سانتی‌متر و قطر  $60^\circ$  به  $40^\circ$  سانتی‌متر را با تغییر عمق لایه‌ی اول نشان می‌دهد. در عمق ۱۲ متری، مقدار این نسبتها افزایش یافته است؛ اما در عمق ۱۸ متری، مقدار این

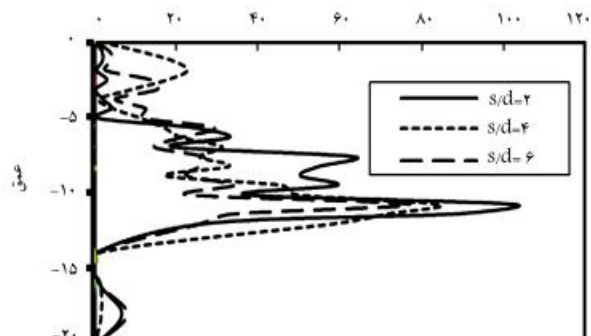
شده است، اما در عمق ۱۸ متر این روند مشاهده نمی شود، که به علت عمق نفوذ کم شمع در این حالت است. افزایش نسبت لنگر با افزایش فاصله‌ی شمع‌ها ممکن است به این دلیل باشد که هر چه شمع‌ها به یکدیگر نزدیک‌تر باشند، مجموعه‌ی شمع‌ها و خاک اطراف آن‌ها به صورت یکپارچه‌تر عمل خواهد کرد، در نتیجه افزایش سختی شمع تأثیری در شکل پذیری آن نخواهد داشت.

### ۲.۳. اثر فاصله‌ی شمع‌ها در لنگر خمشی سینماتیک

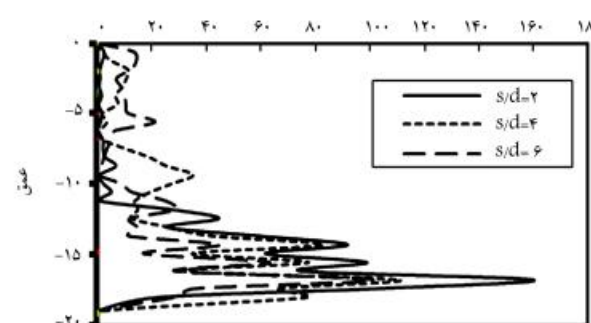
شکل ۱۴، توزیع قدر مطلق ییشه‌ی لنگرهای خمشی در طول شمع D گروه شمع‌ها را برای حالتی که لایه‌ی بالا ماسه‌ی سست و با سرعت موج برشی ۱۵۰ متر بر ثانیه (خاک نوع ۱) است، را نشان می‌دهد. هر گراف از نتایج تجزیه و تحلیل‌های مربوط به نسبت فاصله‌ی شمع‌های ۲، ۴ و ۶ و در عمق‌های مختلف افزایش فاصله‌ی شمع‌ها موجب افزایش اثر قطر شمع در لنگر خمشی سینماتیک



لنجر خمشی (D=۸۰- H<sub>۱</sub>=۶-(kN.m)



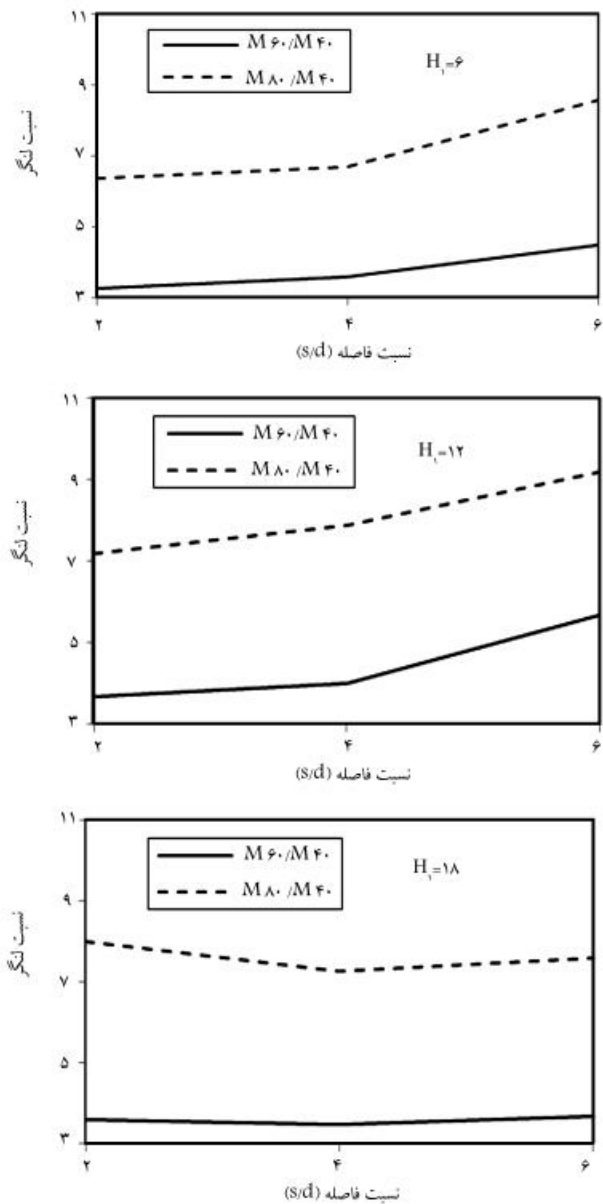
لنجر خمشی (D=۸۰- H<sub>۱</sub>=۱۲-(kN.m)



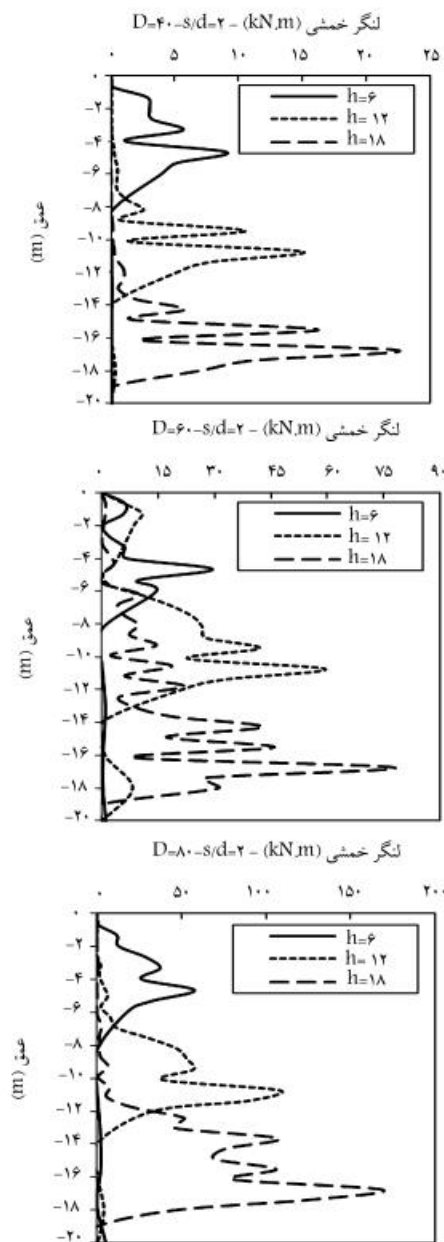
شکل ۱۴. اثر فاصله‌ی شمع‌ها در لنگر خمشی سینماتیک در عمق‌های مختلف لایه‌ی اول.

نسبت‌ها کاهش داشته است. این موضوع را شاید بتوان به علت عمق نفوذ شمع در لایه‌ی سخت زیرین دانست. عمق نفوذ شمع در لایه‌ی پایین برای حالت‌هایی که لایه‌ی بالا ۱۲، ۶ و ۱۸ متر است، به ترتیب ۷/۴، ۱۰/۷ و ۱۰/۱ (نسبت به طول ۲۰ متر شمع) است. در نتیجه در وضعیت سوم، عمق نفوذ ۱/۱، بیشتر درجه‌ی مقاومت در پایین شمع جهت ایجاد اتصال کاملاً گیردار فراهم نمی‌شود، پس ممکن است بتوان این نتیجه را گرفت که با ثابت نگاه داشتن عمق نفوذ شمع در لایه‌ی سخت (که البته از نظر مدل‌سازی عددی با مشکلاتی همراه است)، افزایش ضخامت لایه‌ی بالا موجب افزایش طول آزاد شمع و در نتیجه افزایش اثر قطر شمع در لنگر خمشی سینماتیک می‌شود.

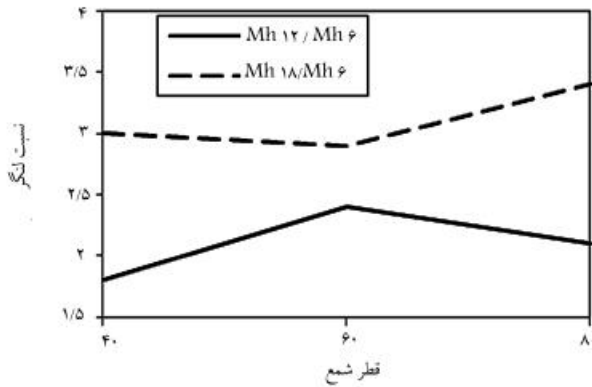
شکل ۱۳، تغییرات نسبت  $M_{60}/M_{40}$  و  $M_{80}/M_{40}$  را در عمق‌های ۶، ۱۲ و ۱۸ متر با نسبت فاصله به قطر شمع نشان می‌دهد. در عمق‌های ۶ و ۱۲ متر افزایش فاصله‌ی شمع‌ها موجب افزایش اثر قطر شمع در لنگر خمشی سینماتیک



شکل ۱۳. تغییرات اثر قطر شمع در لنگر خمشی با نسبت فاصله به قطر شمع.



شکل ۱۵. اثر عمق لایه‌ی اول در لنگر خمشی سینماتیک در قطرهای مختلف شمع.



شکل ۱۶. تغییرات اثر عمق لایه‌ی اول در لنگر خمشی سینماتیک با قطر شمعها.

لایه‌ی اول و قطر  $80\text{ سانتی متر}$  به دست آمده است. در نمودارهای مذکور می‌توان مشاهده کرد که اثر فاصله‌ی شمع‌ها از یکدیگر در لنگر خمشی سینماتیک، کاهنده است. یعنی با افزایش فاصله‌ی شمع‌ها از یکدیگر، لنگر خمشی سینماتیک کاهش پیدا کرده است. نسبت بیشینه‌ی لنگر خمشی در نسبت فاصله‌ی  $2 (s/d)$  به بیشینه‌ی لنگر خمشی در نسبت فاصله‌ی  $4 (M_s/d=4/M_s/d=2)$  تقریباً بین  $1/1.5$  و نسبت بیشینه‌ی لنگر خمشی در نسبت فاصله‌ی  $2$  به نسبت فاصله‌ی  $6 (M_s/d=6/M_s/d=2)$  تقریباً بین  $1/2$  تا  $2$  است. علت کاهش لنگر خمشی سینماتیک با افزایش فاصله‌ی شمع‌ها این است که با افزایش فاصله‌ی شمع‌ها عملکرد یکپارچه‌ی شمع و خاک بین شمع‌ها، که موجب افزایش سختی مجازی شمع می‌شود، از بین خواهد رفت و در فواصل بیشتر، فقط سختی مصالح شمع در مقابل حرکات زمین مقاومت خواهد کرد و چون در این حالت سختی شمع کمتر از حالتی خواهد بود که سختی خاک بین شمع‌ها نیز به سختی شمع افزوده می‌شود، شمع انعطاف‌پذیر است و در نتیجه لنگر خمشی کمتری در آن توسعه می‌یابد. تأثیر تغییر قطر شمع و با عمق لایه‌ی اول بر اثر فاصله‌ی شمع‌ها در لنگر خمشی سینماتیک ناچیز است.

### ۳.۳. اثر عمق لایه‌ی اول در لنگر خمشی سینماتیک

شکل ۱۵، چگونگی توزیع قدر مطلق بیشینه‌ی لنگرهای خمشی در طول شمع  $D$  گروه شمع‌ها را برای حالتی که لایه‌ی بالا ماسه‌ی تست است و با سرعت موج برشی  $15\text{ متر بر ثانیه}$  (خاک نوع ۱) است را نشان می‌دهد. هر گراف از نتایج تجزیه و تحلیل‌های مربوط به عمق‌های مختلف لایه‌ی اول ( $12, 6, 18$  متر) و مقادیر قطرهای شمع  $40, 60$  و  $80\text{ سانتی متر}$  و مقدار ثابت نسبت فاصله به قطر شمع برابر با  $2$  به دست آمده است.

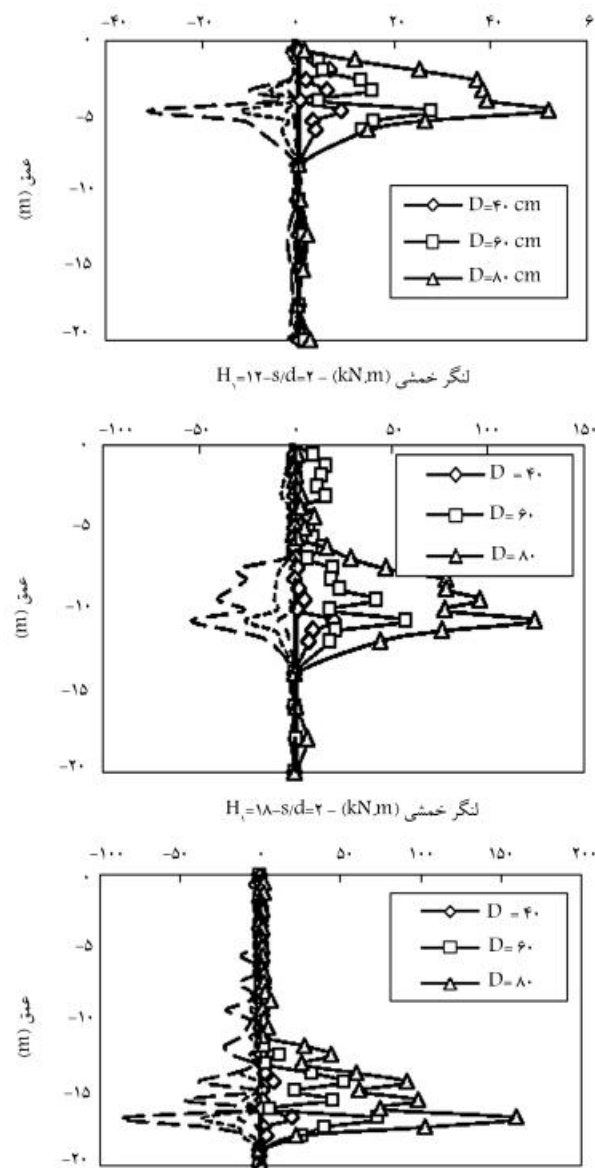
مشاهده می‌شود که عمق لایه‌ی اول تأثیر زیادی در مقدار بیشینه‌ی لنگر خمشی سینماتیک ایجاد شده در طول شمع دارد، زیرا با افزایش ضخامت لایه‌ی اول، طول آزاد شمع و در نتیجه، لنگر خمشی توسعه یافته در آن افزایش می‌یابد. نسبت بیشینه‌ی مقدار لنگر خمشی هنگامی که عمق لایه‌ی اول  $12$  متر است، به بیشینه‌ی مقدار لنگر خمشی در حالتی که عمق لایه‌ی اول  $6$  متر است ( $M_{h1}=12/M_{h1}=6$ )، بین  $1/5$  تا  $2/5$  است. بیشینه‌ی مقدار لنگر خمشی در حالتی که عمق لایه‌ی اول  $18$  متر باشد، بین  $2/5$  تا  $3/5$  برابر بیشینه‌ی مقدار لنگر خمشی در عمق  $6$  متر است ( $M_{h1}=18/M_{h1}=6$ ).

شکل ۱۶، تغییرات نسبت  $M_{12}/M_6$  و  $M_{18}/M_6$  را با قطر شمعها نشان می‌دهد. این دو نسبت با تغییر قطر شمع رفتاری متفاوت از خود نشان می‌دهند. در عین حال تأثیر تغییر قطر شمع در اثر عمق لایه‌ی اول در لنگر خمشی سینماتیک اندک است.

شکل ۱۷، تغییرات نسبت  $M_{12}/M_6$  و  $M_{18}/M_6$  را با نسبت فاصله به قطر شمع در قطرهای  $40, 60$  و  $80\text{ سانتی متر}$  نشان می‌دهد. به طور کلی افزایش فاصله‌ی شمع‌ها از یکدیگر موجب افزایش اندک اثر عمق لایه‌ی اول در لنگر خمشی سینماتیک می‌شود.

### ۴. اثر سختی خاک لایه‌ی اول در لنگر خمشی سینماتیک

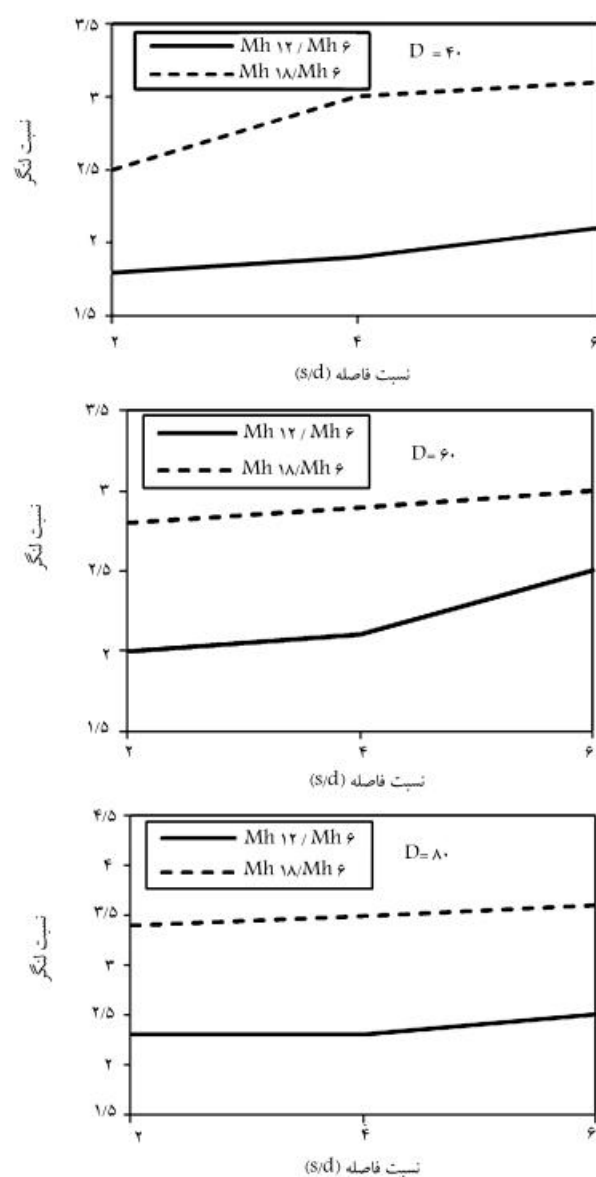
شکل ۱۸، تغییرات مقدار لنگر خمشی برای خاک نرم (نمودارهای نشانه‌دار) و منفی مقدار لنگر خمشی خاک متراکم (نمودارهای خط‌چین) را نشان می‌دهد. افزایش  $2$  برابر سختی خاک موجب شده است که مقادیر لنگر خمشی سینماتیک تقریباً



شکل ۱۸. اثر سختی خاک در لنگر خمشی سینماتیک.

۱. قطر شمع‌ها اثر چشمگیری در مقدار لنگر خمشی سینماتیک ایجاد شده دارد، به طوری که با افزایش قطر شمع‌ها از ۴۰ به ۶۰ و همچنین از ۴۰ به ۸۰ سانتی‌متر تقریباً مقدار لنگر خمشی به ترتیب بین  $3/5$  تا  $5/5$  تا  $5/5$  تا  $9/5$  برابر می‌شود.
۲. با ڈائب نگاهداشتن عمق نفوذ شمع در لایه‌ی سخت، با افزایش عمق لایه‌ی اول، اثر افزایش قطر شمع در لنگر خمشی سینماتیک همواره مثبت است.
۳. تأثیر قطر شمع‌ها در لنگر خمشی با زیاد شدن نسبت فاصله به قطر شمع‌ها بیشتر می‌شود.

۴. اثر فاصله‌ی شمع‌ها از یکدیگر در لنگر خمشی سینماتیک، کاهنده است، یعنی با افزایش فاصله‌ی شمع‌ها از یکدیگر لنگر خمشی سینماتیک کاهش پیدا می‌کند.
۵. اثر فاصله‌ی شمع‌ها در لنگر خمشی سینماتیک با تغییر قطر شمع‌ها و یا عمق لایه‌ی اول تغییر چندانی نمی‌کند.
۶. عمق لایه‌ی سست تأثیر زیادی در مقدار بیشینه‌ی لنگر خمشی سینماتیک ایجاد شده در طول شمع دارد. بیشینه‌ی مقدار لنگر خمشی هنگامی که عمق



شکل ۱۷. تغییرات اثر عمق لایه‌ی اول در لنگر خمشی سینماتیک با نسبت فاصله به قطر شمع در قطرهای مختلف.

نصف شود، زیرا سختی بیشتر خاک موجب می‌شود شمع کمتر اجازه تغییر شکل پیدا کند. این کاهش در لنگر خمشی سینماتیک به خصوص در شمع‌های با قطر کمتر بیشتر نمایان است.

#### ۴. نتیجه‌گیری

در این نوشتار نتایج حاصل از مطالعه‌ی پارامتریک بر اندرکنش سینماتیک خاک - شمع و چگونگی تغییر لنگر خمشی سینماتیک در گروه شمع مدفون در خاک دو لایه‌ی با استفاده از نرم‌افزار تفاضل محدود ۳D FLAC تحت تحریک زلزله‌ی الستترو در حوزه‌ی زمانی بررسی شده است. با مقایسه‌ی مقادیر بیشینه‌ی لنگر خمشی حاصل از ۵۴ تجزیه و تحلیل، این نتایج بدست آمده است:

۸. تغییر قطر شمع ها موجب تغییر اندازه در اثر عمق لایه ای اول در لنگر خمی سینماتیک می شود.
۹. افزایش سختی خاک موجب می شود که مقدار لنگر خمی به طور چشمگیری کاهش یابد.
۱۰. لایه ای اول ۱۲ متر است، بین ۱/۵ تا ۲/۵ برابر و بیشینه مقدار لنگر خمی در حالتی که عمق لایه ای اول ۱۸ متر باشد، بین ۲ تا ۳/۵ برابر می شود.
۱۱. افزایش نسبت فاصله به قطر شمع ها ( $s/d$ ) موجب افزایش اندازه اثرگذاری عمق لایه ای بالا در لنگر خمی سینماتیک می شود.

## پانوشت ها

1. kinematic moments
2. inertial moments
3. explicit
4. Arias intensity
5. quite boundary

## منابع (References)

1. Gazetas, G., Fan, K., Tazoh, T. and Shimizu, K. "Seismic response of the pile foundation of Ohba Ohashi bridge", *In Proceedings: Third International Conference on Case Histories in Geotechnical Engineering*, pp. 1803-1809 (1993).
2. Nikolaou, S., Mylonakis, G., Gazetas, G. and Tazoh, T. "Kinematic pile bending during earthquakes: analysis and field measurements", *Geotechnique*, **51**(5), pp. 425-440 (2001).
3. Eurocode 8, *Design of Structures for Earthquake Resistance - Part 5: Foundations, Retaining Structures and Geotechnical Aspects*, European Committee for Standardization Technical Committee 250 (CEN/TC 250), Brussels, Belgium (2003).
4. Kavvads, M. and Gazetas, G. "Kinematic seismic response and bending of free-head piles in layered soil", *Geotechnique*, **43**(2), pp. 207-222 (1993).
5. Mylonakis, G., Nikolaou, A. and Gazetas, G. "Soil-pile-bridge seismic interaction: kinematic and inertial effects. Part I: soft soil", *Earthquake Engineering & Structural Dynamics*, **26**(3), pp. 337-359 (1997).
6. Murono, Y. and Akihiko, N. "Evaluation of seismic force of pile foundation induced by inertial and kinematic interaction", *In Proceedings of the 12th World Conference on Earthquake Engineering*, Auckland, New Zealand, pp.1496 (2000).
7. Nikolaou, S., Mylonakis, G., Gazetas, G. and Tazoh, T. "Kinematic pile bending during earthquakes: Analysis and field measurements", *Geotechnique*, **51**(5), pp. 425-440 (2001).
8. Dezi, F., Carbonari, S. and Leoni, G. "Kinematic bending moments in pile foundations", *Soil Dynamics and Earthquake Engineering*, **30**(3), pp. 119-132 (2010).
9. Sica, S., Mylonakis, G. and Simonelli, A.L. "Strain effects on kinematic pile bending in layered soil", *Soil Dynamics and Earthquake Engineering*, **49**, pp. 231-242 (2013).
10. Maiorano, R.M.S., Aversa, S. and Wu, G. "Effects of soil non-linearity on bending moments in piles due to seismic kinematic interaction", *In Proceedings of the Fourth International Conference on Earthquake Geotechnical Engineering*, Thessaloniki, Greece, pp. 968-975 (2007).
11. Di Laora, R., Mandolini, A. and Mylonakis, G. "Insight on kinematic bending of flexible piles in layered soil", *Soil Dynamics and Earthquake Engineering*, **43**, pp. 309-322 (2012).
12. Trifunac, M.D. and Brady, A.G. "A study on the duration of strong earthquake ground motion", *Bulletin of the Seismological Society of America*, **65**(3), pp. 581-626 (1975).
13. Itasca Consulting Group, *FLAC: Fast Lagrangian Analysis of Continua*, vol. I. User's Manual, vol. II. Verification Problems and Example Applications, Second Edition (FLAC3D Version 3.0), Minneapolis, Minnesota 55401 USA (2005).
14. Kuhlemeyer, R.L. and Lysmer, J. "Finite element method accuracy for wave propagation problems", *Journal of Soil Mechanics & Foundations Div.*, **99**(5), pp. 421-427 (1973).
15. Trochanis, A.M., Bielak, J. and Christiano, P. "Three-dimensional nonlinear study of piles", *Journal of Geotechnical Engineering*, **117**(3), pp. 429-447 (1991).
16. Bentley, K.J. and Naggar, M.H.E. "Numerical analysis of kinematic response of single piles", *Canadian Geotechnical Journal*, **37**(6), pp. 1368-1382 (2000).
17. Maheshwari, B. K., K. Z. Truman, P. L. Gould, and M. H. El Naggar. "Three-dimensional nonlinear seismic analysis of single piles using finite element model: effects of plasticity of soil." *International Journal of Geomechanics*, **5**(1), pp.35-44, (in Persian) (2005).
18. Poulos, H.G. and Davis, E.H., *Pile Foundation Analysis and Design*, Wiley (1980).